

Chapitre VI :***Flexion simple.***

<i>Objectifs</i>	Déterminer la répartition des contraintes dans une section de poutre sollicitée à la flexion. Vérifier la condition de résistance pour une poutre sollicitée à la flexion. Dimensionner une poutre sollicitée à la flexion.
<i>Pré-requis</i>	Torseur de cohésion. Contrainte tangentielle.
<i>Éléments de contenu</i>	Étude des contraintes/ Déformation en flexion simple. Relation contrainte - moment de flexion. Conditions de résistance / de rigidité en flexion. Concentration de contrainte.

I. Introduction :

Une poutre est sollicitée en flexion simple lorsque toutes les forces appliquées à la poutre que ce soient les forces à distance ou les forces élémentaires de liaison sont perpendiculaires à la ligne moyenne, et soit situées dans le plan de symétrie, soit réparties symétriquement par rapport à celui-ci, ou concentrées en un point ou réparties suivant une loi.

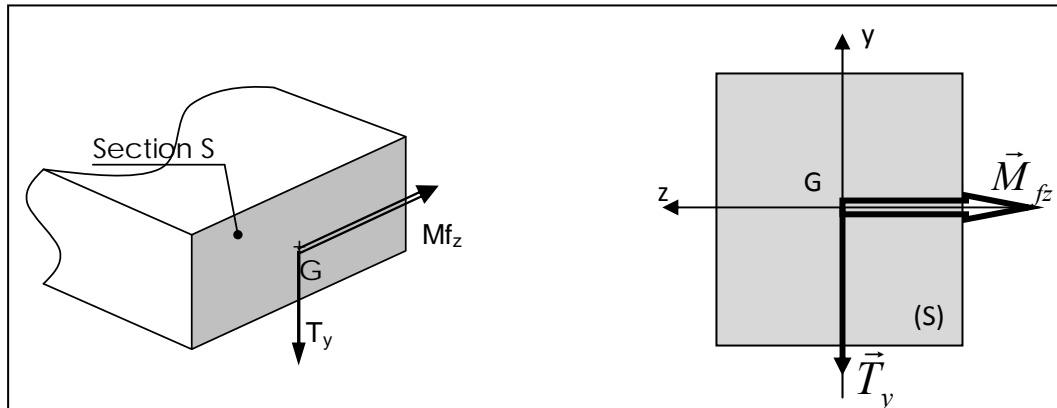


Figure 6.1: Modélisation des efforts extérieurs sur une poutre soumise à une flexion simple

Au cours de la déformation, les sections droites (constantes) restent planes et normales à la ligne moyenne.

La ligne moyenne de la poutre est rectiligne et confondue avec l'axe (o,x) .

Le torseur associé aux efforts de cohésion peut se réduire en G, barycentre de la section droite S, à une résultante contenue dans le plan de la section et à un moment perpendiculaire à cette dernière.

$$\{\tau_{coh}\}_G = \begin{Bmatrix} 0 & 0 \\ T_y & 0 \\ 0 & M_{fz} \end{Bmatrix}_G$$

II. Essai de flexion :

Considérons une poutre reposant sur deux appuis soumise à une charge concentrée verticale (figure 6.2).

Après déformation, cette poutre fléchit : On constate que les fibres situées dans la partie supérieure sont sollicitées en compression tandis que celles situées en partie inférieure sont sollicitées en traction.

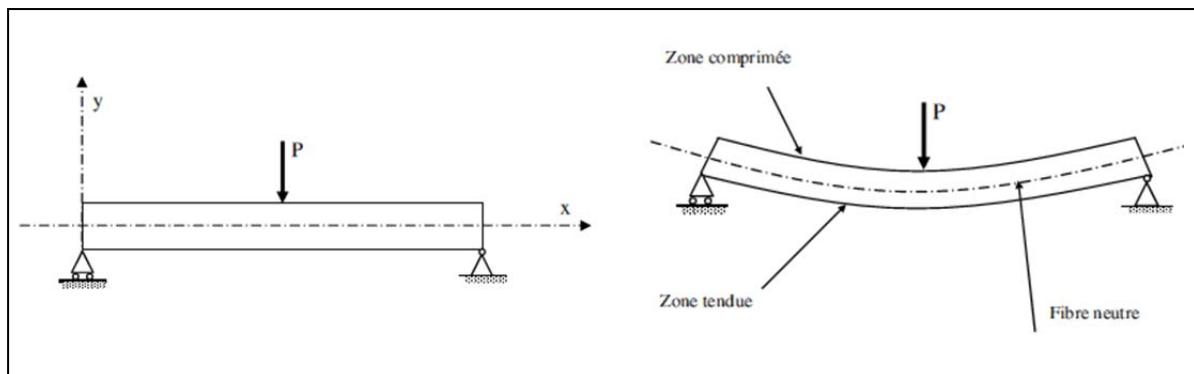


Figure 6.2: Modélisation d'un essai de flexion trois points.

Entre ces deux régions il existe une fibre qui reste ni tendue ni comprimée : la fibre neutre.

Les allongements ou raccourcissements relatifs sont proportionnels à la distance y de la fibre considérée.

III. Répartition des contraintes :

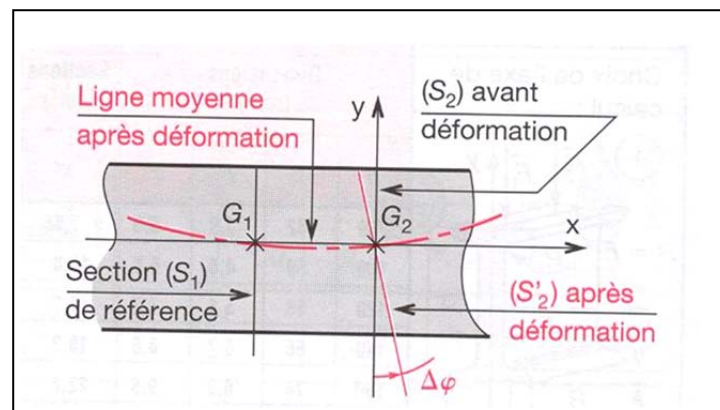


Figure 6.3: Définition de l'angle $\Delta\phi$.

Lorsque la poutre fléchit (Figure 6.3), la section droite pivote d'un angle $\Delta\phi$

Les contraintes normales engendrées sont proportionnelles à la distance qui les sépare du plan des fibres moyennes, d'où : $\sigma_M = -E\theta y$

E : Module, d'Young [MPa]

Y : distance de M par rapport à la fibre neutre [mm].

$\theta = \frac{\Delta\phi}{\Delta x}$: Angle unitaire de flexion [rad/mm]

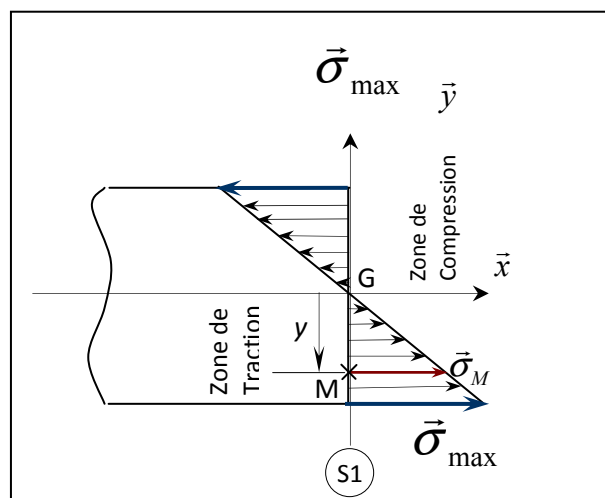


Figure 6.4: Répartition des contraintes dans une section droite.

Relation entre contrainte et moment fléchissant :

Le vecteur contrainte dans la section droite s'écrit :

$$\vec{C}(M, \vec{x}) = \sigma_x \vec{x} = -E\theta y \vec{x}$$

Le moment résultant du torseur de cohésion $\vec{M}_{fz} = M_{fz} \vec{z} = \int_S G\vec{M} \wedge \vec{C}(M, \vec{x})$

$$G\vec{M} = y\vec{y} + z\vec{z}, \text{ Il en résulte que : } M_{fz} = \int_S E\theta y^2 dS = E\theta \int_S y^2 dS$$

$$\text{Or } \sigma_x = -E\theta y \Rightarrow E\theta = -\frac{\sigma_x}{y} \quad \text{Donc : } M_{fz} = -\frac{\sigma_x}{y} \int_S y^2 dS = -\frac{\sigma_x}{y} I_{GZ}$$

$$\text{Finalement } M_{fz} = -\frac{\sigma_x}{y} I_{GZ} \Rightarrow \sigma_x = -\frac{M_{fz}}{I_{GZ}} y$$

Les contraintes maximales se développent dans les fibres les plus éloignées de la fibre neutre. :

$$|\sigma|_{\max} = \frac{|M_{fz}|_{\max}}{\frac{I_{GZ}}{v}}$$

$v = |y|_{\max}$: Ordonnée du point le plus éloigné de (G, \vec{z}) [mm].

$\frac{I_{GZ}}{v}$: Module de flexion de la section droite (S1).

σ_M : Contrainte normale de flexion en M [MPa]

IV. Condition de résistance à la flexion

Pour des raisons de sécurité, la contrainte normale due à la flexion doit rester inférieure à la résistance pratique à l'extension R_{pe} . On définit $R_{pe} = \frac{R_e}{s}$

La condition de résistance s'écrit :

$$|\sigma|_{\max} \leq R_{pe}$$

R_{pe} : la résistance pratique à l'extension (MPa)

R_e : la résistance élastique à l'extension du matériau (en Mpa)

s : coefficient de sécurité

V. Concentration de contraintes :

En tenant compte d'un éventuel coefficient k de concentration de contraintes, La condition de résistance s'écrit :

$$|\sigma_{\max}|_{eff} \leq R_{pe}$$

Les coefficients de concentration des contraintes K sont donnés à partir des abaques (Fig 6.5).

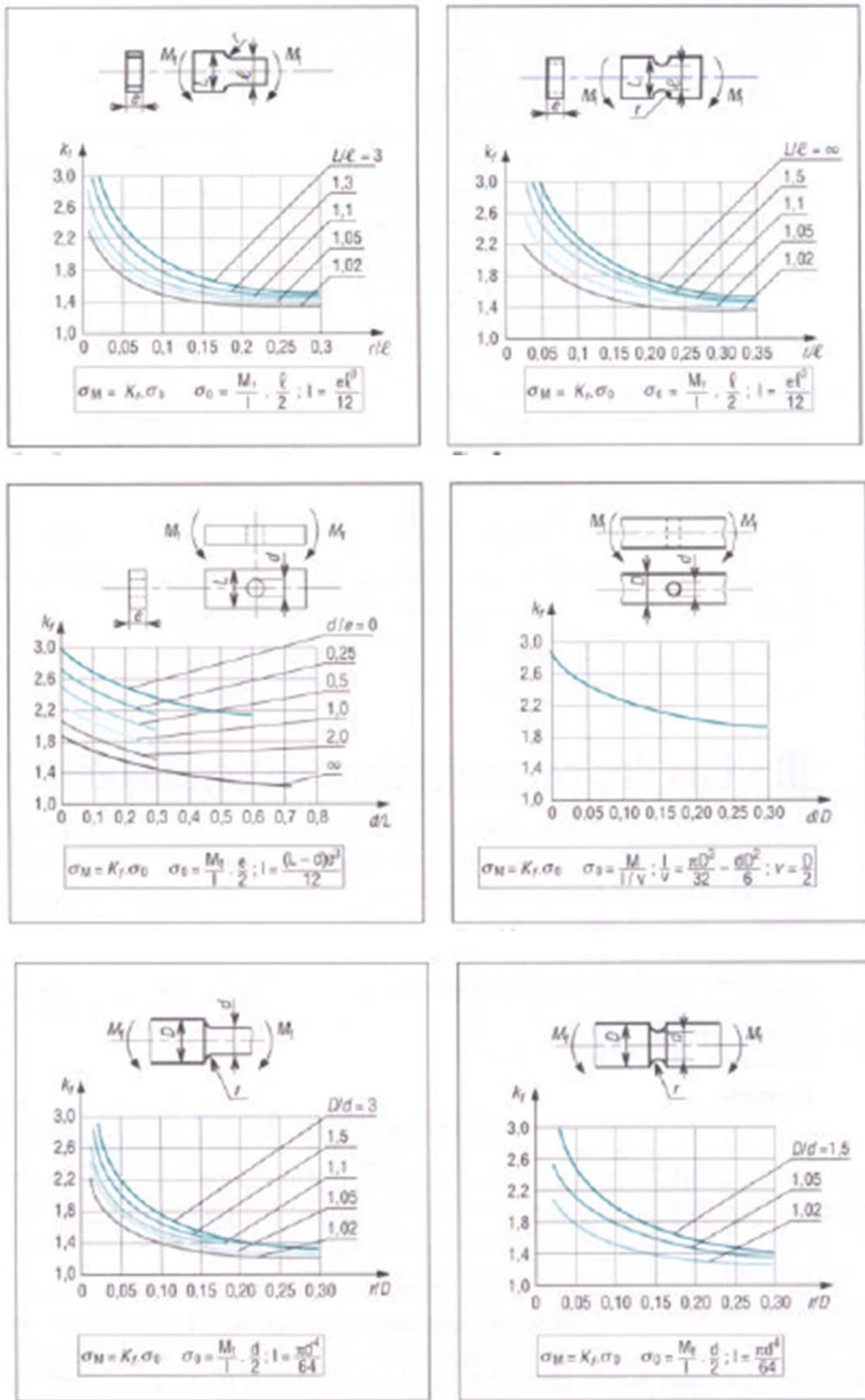


Figure 6.5: Coefficient de concentration de contraintes K en flexion simple.

VI. Déformation en flexion :

On appelle déformée, la courbe de la ligne moyenne de la poutre après déformation.
L'équation de la déformée est: $y = f(x)$.

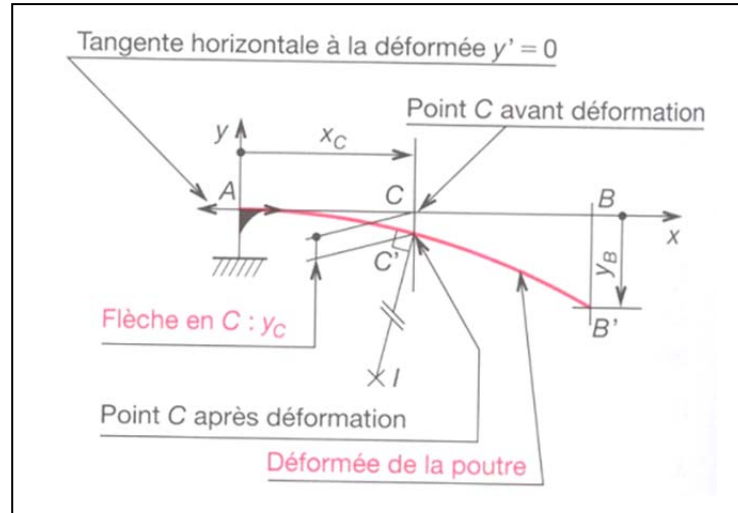


Figure 6.6: Définition de la déformée

y est la flèche au point d'abscisse x .
Les dérivées première et seconde sont notées y' et y'' .

Relation entre flèche et moment fléchissant

On peut calculer la flèche à partir de l'équation de la déformée déterminée par double intégration de l'équation du moment fléchissant. $EI_{GZ}y''(x) = -M_{fz}$

VII. Condition de rigidité en flexion :

On calcule la flèche maximale et on vérifie ensuite que cette flèche reste inférieure à une valeur limite f_{lim} $y_{max} \leq f_{lim}$